# ФЕДЕРАЛЬНОЕ АГЕНТСТВО ПО ОБРАЗОВАНИЮ ГОСУДАРСТВЕННОЕ ВЫСШЕЕ УЧЕБНОЕ ЗАВЕДЕНИЕ «САНКТ-ПЕТЕРБУРГСКИЙ ГОСУДАРСТВЕННЫЙ УНИВЕРСИТЕТ»

Математико-механический факультет

Специальность «математика»

Кафедра высшей алгебры и теории чисел

#### Дипломная работа

## Гипероктаэдральные комбинаторные типы

К защите допущен»:	
Зав. кафедрой высшей алгебры и теории чисел, профессор, д.фм.н.	 Яковлев А.В.
Научный руководитель, доцент??, д.фм.н.	 Пименов К.И
Рецензент, д.фм.н.	 ??? ?.?.
Дипломник	 Ватманн В.В.

г. Санкт-Петербург, 2012

# Содержание

### Глава I. Введение

Гипероктаэдральные или кубические комбинаторные виды — развите идеи комбинаторных типов (species). Мы будем обозначать их h-species для краткости. ТООО:добавить введение (видимо взять часть из Bergeron)

План: Изложить теорию для species, параллельно строить ее для h-species species — сложение умножение — аналитический функтор — композиция аналитических функторов — композиция species — декатегорификация аналитического функтора — примеры

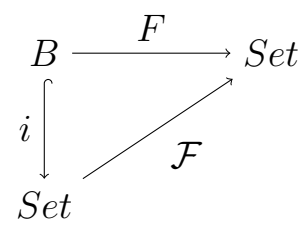
#### Глава II. Основные определения

species HSet h-species аналитический функтор

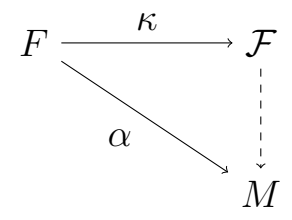
#### Глава III. Формулы

#### 3.1. Аналитический функтор для h-species

Аналитический функтор  $\mathcal{F}$  соответствующий species F является продуктивной конструкцией, позволяющей определить композиционное произведение species. Вводить его можно разными способами, мы ограничимся универсальным свойством и явной конструкцией (TODO: дописать и возможно добавить определение Дурова). Аналитический функтор является левым расширением по Кану функтора F относительно i.



Эта диаграмма не является коммутативной, а коммутативна лишь настолько, насколько может быть коммутативной диаграмма подобного вида. А именно, имеется естественное преобразование  $\kappa F \to i \circ \mathcal{F}$ , обладающее следующим универсальным свойством: для любого функтора  $M \colon Set \to Set$  и морфизма функторов  $\eta \colon F \to i \circ M$  этот морфизм пропускаеться через  $\mathcal{F}$  при помощи  $\kappa$ .



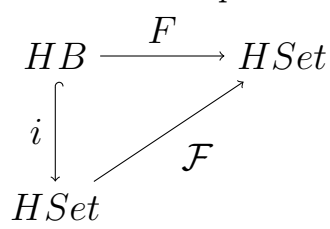
Явная формула для аналитического функтора. Для доказательства см (TODO)

$$\mathcal{F} = \sum_{n} F[n] \times A^{n} / S_{n} \tag{3.1}$$

У аналитического функтора для типа структуры F имеется прозрачный комбинаторная интерпретация. Если трактовать множество A как набор цветов, то значение аналитического функтора  $\mathcal{F}(A)$  трактуется как множество

структур типа F раскрашенных в цвета из A.

Хочется построить аналог аналитического функтора для h-species



$$\mathcal{F} = \sum_{n} F[\bar{n}] \times A^{\bar{n}}/B_n \tag{3.2}$$

Где  $A^{\bar{n}}$  задает отображение, сохраняющее инволюцию.

TODO:Здесь нужно добавить проверук универсальности картинки

# 3.2. Декатегорификация аналитического функтора: Фробениусова характеристика / Цикленный индекс

#### 3.2.1. Случай обычных species

Напомним ситуацию с обычными species. Процедура декатегорификации не имеет строго математического смысла, так же как и процедура квантования. Сейчас мы предложим процедуру, которая, стартуя с обычных species, на выходе дает классический цикленный инлдекс/фробениусову характеристику. Затем мы попытаемся аналогические действия провести и в гипероктаэдральном случае. Декатегорификацией моноидальной категории  $\mathbb B$  является моноид классов изоморфизма объектов категории  $\mathbb B$ , то есть моноид натуральных чисел по сложению. Декатегорификкацией  $\widehat{\mathbb B}$  естественным образом оказывается моноидная алгебра с коэффициентами из  $\mathbb Z$  для моноида  $\mathbb N$ , то есть кольцо многочленов Z[X]. (Правда это не то, что мы хотели. Чтобы получить цикленный индекс надо декатегорифицировать саму операцию подстановки и аналитический функтор).

Надо устроить морфизм из моноидальной категории (категории с тензорным произведением) в какую-нибудь алгебру функций. Мы вводим весовую функцию таким образом что орбита раскрашенной структуры под действием  $S_n$  имеет один и тот же вес. После этого можно задать вопрос о коэффициенте при мономе соответствующего веса. Это будет число орбит с заданной весовой функцией. По Лемме Бернсайда это то же самое, что и усредненное

число неподвижных точек по всем элементам группы. Чтобы раскрашенная структура была неподвижна под действием перестановки  $\sigma$  нужно, чтобы вопервых она была неподвижна как не раскрашенная структура, а во-вторых расскраска должна переходить в себя. В качестве весовой функции выбираем моном возникающий в произведении переменных отвечающим цветам. Например расскраске в которой 2 первых цвета и 1 второй соответсвует моном  $x_1^2x_2$ . Тогда первое условие дает нам сомножитель  $\chi(\sigma)$ , где характер это характер соответствующего перестановочного представления с базисом из структур. Второе условие требует покраски каждого цикла в один и тот же цвет. Итоговая формула называеться фробениусовой характеристикой / цикленным индексом. Она считает количество неподвижных раскрашенных структур в среднем.

$$\mathcal{Z}_F = \sum_n \frac{1}{n!} \sum_{\sigma \in S_n} \chi(\sigma) \psi^{\lambda(\sigma)} = \sum_{n, \lambda \vdash n} \chi(\sigma_\lambda) \frac{\psi^\lambda}{z_\lambda}$$
 (3.3)

Где  $\chi$  — характер (перестановочного) представления заданного F,  $\sigma$  — перестановка цикленного типа  $\lambda$ ,  $\psi^{\lambda} = (x_1^{\lambda_1} + x_2^{\lambda_1} + x_3^{\lambda_1} + \dots)(x_1^{\lambda_2} + x_2^{\lambda_2} + x_3^{\lambda_2} + \dots)(x_1^{\lambda_3} + x_2^{\lambda_3} + x_3^{\lambda_3} + \dots) \dots, z_{\lambda}$ — индекс класса сопряженности  $\sigma$ . Появляется она из следующих соображений: в числителе стоит симметрическая функция считающая все неподвижные раскраски. Цвета это  $x_1, x_2, x_3, \dots$ 

#### 3.2.2. Случай h-species

Попробуем построить аналогичную конструкцию для h-species. Прежде всего отметим, что раскраска, элемент  $A^{\bar{n}}$ , это отображение, сохраняющее инволюцию. Значит элементы n и -n должны отображаться либо в один и тот же элемент A (который инволюцией переводиться в себя), либо в пару элементов сопряженных инволюцией. Будем называть первый случай моно-цветом, второй — бицветом.

Покрашенные структуры сами по себе можно рассматривать как моноцвет, либо бицвет. Это по–прежнему определяется длинной орбиты инволюции A, уже после факторизации по  $B_n$ . То есть кроме действия  $B_n$  есть еще внешняя инволюция — действие  $Z_2$ . Будем называть их моноструктурами и биструктурами.

Цикленный индекс, считающий только моноструктуры будем обозначать

 $\mathcal{Z}^{(1)}$ , биструктуры —  $\mathcal{Z}^{(2)}$ . Количество орбит под действием  $H_n \times Z_2$  соответствует  $\mathcal{Z}^{(1)} + \mathcal{Z}^{(2)}$ , а под действием только  $H_n$  соответствует  $\mathcal{Z}^{(1)} + 2\mathcal{Z}^{(2)}$ . Поскольку каждая биструктура будет посчитан два раза.

В качестве H-множества цветов возьмем счетное множество моноцветов  $x_1, x_2, x_3, \ldots$  объединенное с счетным множеством бицветов  $y_1, y_2, y_3, \ldots$ 

Допустим, что мы придумали весовую функцию, отправляющую каждую расскрашенную структуру в моном и любая орбита отправляеться в один моном. Применив Лемму Бернсайда переходим к подсчету неподвижных точек. Циклы в каждом элементе  $H_n$  бывают двух типов: длинные — каждая грань входит в цикл вместе со своей противоположной гранью и короткие — пара граней лежит в симметричных, различных циклах.

Посчитаем количество количество неподвижных точек для  $H_n$ . Пусть  $\lambda^1$  — цикленный тип коротких перестановок,  $\lambda^2$  — цикленный тип длинных перестановок. Утверждение: неподвижные раскрашенные структуры, это в точности те, у которых длинный цикл соответсвует моноцвету, а пара симметричных коротких может быть покрашена либо в моноцвет, либо в бицвет.

Это можно выразить такой формулой:

$$\mathcal{Z}_{F}^{(1)} + 2\mathcal{Z}_{F}^{(2)} = \sum_{n} \frac{1}{2^{n} n!} \sum_{\sigma \in B_{n}} \chi(\sigma) \psi_{x,y,y}^{\lambda^{1}(\sigma)} \psi_{x}^{\lambda^{2}(\sigma)} = \sum_{n,\lambda^{1} + \lambda^{2} \vdash n} \chi(\sigma_{\lambda^{1} \lambda^{2}}) \frac{\psi_{x,y,y}^{\lambda^{1}} \psi_{x}^{\lambda^{2}}}{z_{\lambda^{1} \lambda^{2}}}$$

$$(3.4)$$

Здесь нижний индекс  $\psi$  означает переменные по которым берется степенная сумма. Например  $\psi_{x,y,y}^2 = (x_1^2 + x_2^2 + x_3^2 + \dots + y_1^2 + y_2^2 + y_3^2 + \dots + y_1^2 + y_2^2 + y_3^2 + \dots)$ . При этом коофициент 2 у  $y_i^2$  отражает тот факт, что можно раскрасить k пар граней в бицвет, так чтобы расскраска была неподвижна, под действием короткого цикла, 2-мя способами.

Посчитаем количество количество неподвижных точек для  $H_n \times Z_2$ . Разобъем сумму на две части —  $(h,\bar{0})$  и  $(h,\bar{1})$ . Для первой формула будет аналогична  $\ref{eq:condition}$ , только из-за того что порядок группы в 2 раза больше, появится коофициент  $\frac{1}{2}$ .

Во второй части по-прежнему можно красить и длинные и короткие циклы в моноцвет. А вот с бицветом происходит любопытная вещь — предположим мы красим цикл (пару циклов в него). Тогда добавляется смена грани

на каждом шаге, а значит для циклов нечетной длинны сменится свойство короткий–длинный. Итоговая формула такая

$$\mathcal{Z}_{F}^{(1)} + \mathcal{Z}_{F}^{(2)} = \frac{1}{2} \sum_{n,\lambda^{1} + \lambda^{2} \vdash n} \chi(\sigma_{\lambda^{1}\lambda^{2}}) \frac{\psi_{x,y,y}^{\lambda^{1}} \psi_{x}^{\lambda^{2}}}{z_{\lambda^{1}\lambda^{2}}} + \frac{1}{2} \sum_{n,\lambda_{o}^{1} + \lambda_{o}^{2} + \lambda_{e}^{1} + \lambda_{e}^{2} \vdash n} \chi(\sigma_{\lambda_{o}^{1}\lambda_{o}^{2}\lambda_{e}^{1}\lambda_{e}^{2}}) \frac{\psi_{x,y,y}^{\lambda_{e}^{1} + \lambda_{o}^{2}} \psi_{x}^{\lambda_{e}^{2} + \lambda_{o}^{1}}}{z_{\lambda_{o}^{1}\lambda_{o}^{2}\lambda_{e}^{1}\lambda_{e}^{2}}}$$
(3.5)

Где  $\lambda_o$  — циклы нечетной длинны,  $\lambda_e$  — циклы четной длинны. Откуда легко получить

$$\mathcal{Z}_F^{(1)} = \sum_{n,\lambda_o^1 + \lambda_o^2 + \lambda_e^1 + \lambda_e^2 \vdash n} \chi(\sigma_{\lambda_o^1 \lambda_o^2 \lambda_e^1 \lambda_e^2}) \frac{\psi_{x,y,y}^{\lambda_e^1 + \lambda_o^2} \psi_x^{\lambda_e^2 + \lambda_o^1}}{z_{\lambda_o^1 \lambda_o^2 \lambda_e^1 \lambda_e^2}}$$
(3.6)

$$\mathcal{Z}_{F}^{(2)} = \frac{1}{2} \sum_{n,\lambda^{1}+\lambda^{2}\vdash n} \chi(\sigma_{\lambda^{1}\lambda^{2}}) \frac{\psi_{x,y,y}^{\lambda^{1}} \psi_{x}^{\lambda^{2}}}{z_{\lambda^{1}\lambda^{2}}} - \frac{1}{2} \sum_{n,\lambda^{1}+\lambda^{2}+\lambda^{1}+\lambda^{2}\vdash n} \chi(\sigma_{\lambda_{o}^{1}\lambda_{o}^{2}\lambda_{e}^{1}\lambda_{e}^{2}}) \frac{\psi_{x,y,y}^{\lambda_{e}^{1}+\lambda_{o}^{2}} \psi_{x}^{\lambda_{e}^{2}+\lambda_{o}^{1}}}{z_{\lambda_{o}^{1}\lambda_{o}^{2}\lambda_{e}^{1}\lambda_{e}^{2}}} \tag{3.7}$$

#### 3.2.3. Примеры

Посчитаем цикленные индексы для простых h-species. Здесь мы будем писать Z(A) вместо  $Z_A$ . Это не должно вызывать путаницу, поскольку вместо A будут использоваться схематические картинки и их не перепутать с переменными, от которых считаеться цикленный индекс.

Структура «одна пара граней», будем символически писать 

⋄.

$$[\mathcal{Z}^{(1)} + 2\mathcal{Z}^{(2)}](\delta) = \frac{1}{2}(\psi_{x,y,y}^1 + \psi_x^1) = \psi_{x,y}^1$$
$$\mathcal{Z}^{(1)}(\delta) = \frac{1}{2}(\psi_x^1 + \psi_{x,y,y}^1) = \psi_{x,y}^1$$

 $\mathcal{Z}^{(2)}(\stackrel{\circ}{\circ}) = 0$ 

Значит

Структура «одна пара граней, грани различаются». Обозначение 🔓.

$$[\mathcal{Z}^{(1)} + 2\mathcal{Z}^{(2)}](\hat{\bullet}) = \frac{1}{2}(2\psi_{x,y,y}^1 + 0\psi_x^1) = \psi_{x,y,y}^1$$
$$\mathcal{Z}^{(1)}(\hat{\bullet}) = \frac{1}{2}(2\psi_x^1 + 0\psi_{x,y,y}^1) = \psi_x^1$$

Значит

$$\mathcal{Z}^{(2)}(\lozenge) = \psi_y^1$$

Структура «квадрат». Обозначение  $\square$ .

$$[\mathcal{Z}^{(1)} + 2\mathcal{Z}^{(2)}](\square) = \frac{1}{8}((\psi_{x,y,y}^1)^2 + (\psi_x^1)^2 + 2\psi_x^2 + 2(\psi_x^1\psi_{x,y,y}^1) + 2\psi_{x,y,y}^2)$$

Здесь коофициенты — не характеры (характер при каждом слагаемом = 1).

$$\mathcal{Z}^{(1)}(\Box) = \frac{1}{8}((\psi_x^1)^2 + (\psi_{x,y,y}^1)^2 + 2\psi_{x,y,y}^2 + 2(\psi_{x,y,y}^1\psi_x^1) + 2\psi_x^2) = [\mathcal{Z}^{(1)} + 2\mathcal{Z}^{(2)}](\Box)$$

Последнее следовало и из общих соображений: легко видеть что  $\mathcal{Z}^{(2)}(\square) = 0$ . Структура «квадрат, противоположные грани различаются». Обозначение  $\square$ .

$$[\mathcal{Z}^{(1)} + 2\mathcal{Z}^{(2)}](\square) = \frac{1}{8} (4(\psi_{x,y,y}^1)^2 + 0(\psi_x^1)^2 + 0\psi_x^2 + 0(\psi_x^1\psi_{x,y,y}^1) + 2 \times 2\psi_{x,y,y}^2)$$
$$\mathcal{Z}^{(1)}(\square) = \frac{1}{8} (4(\psi_x^1)^2 + 2 \times 2\psi_{x,y,y}^2)$$

Откуда

$$\mathcal{Z}^{(2)}(\square) = \frac{1}{2}([\mathcal{Z}^{(1)} + 2\mathcal{Z}^{(2)}](\square) - \mathcal{Z}^{(1)}(\square)) = \frac{1}{2}(\psi_{y,y}^1\psi_x^1 + \frac{1}{2}(\psi_{y,y}^1)^2) = \psi_y^1\psi_x^1 + (\psi_y^1)^2$$

Структура  $\stackrel{\diamond}{\bullet} \times \stackrel{\diamond}{\bullet}$ . Это не то же самое что  $\square$  , поскольку это «упорядоченная пара  $\stackrel{\diamond}{\bullet}$  ». Ее цикленный индекс мы посчитаем дальше.

#### 3.3. Сумма и произведение цикленных индексов

#### 3.3.1. Сумма

Сумма цикленных индексов соответсвует поточечной сумме аналитических функторов и здесь нет никаких сюрпризов:

$$\mathcal{Z}_{A+B}^{(1)} = \mathcal{Z}_{A}^{(1)} + \mathcal{Z}_{B}^{(1)}$$

$$\mathcal{Z}_{A+B}^{(2)} = \mathcal{Z}_{A}^{(2)} + \mathcal{Z}_{B}^{(2)}$$

#### 3.4. Произведение

Для произведения уже не совсем так. Утверждается, что моноструктура получается в произведении двух моноструктур. А биструктура получается, если один из сомножителей биструктура. Причем в случае, когда оба сомножителя — биструктуры, получается две различных биструктуры. То есть

$$\mathcal{Z}_{A*B}^{(1)} = \mathcal{Z}_{A}^{(1)} * \mathcal{Z}_{B}^{(1)}$$

$$\mathcal{Z}_{A*B}^{(2)} = \mathcal{Z}_A^{(1)} * \mathcal{Z}_B^{(2)} + \mathcal{Z}_A^{(2)} * \mathcal{Z}_B^{(1)} + 2(\mathcal{Z}_A^{(2)} * \mathcal{Z}_B^{(2)})$$

Откуда следует

$$(\mathcal{Z}_{A*B}^{(1)} + 2\mathcal{Z}_{A*B}^{(2)}) = (\mathcal{Z}_A^{(1)} + 2\mathcal{Z}_A^{(2)}) * (\mathcal{Z}_B^{(1)} + 2\mathcal{Z}_B^{(2)})$$

Что логично, поскольку  $(\mathcal{Z}_F^{(1)} + 2\mathcal{Z}_F^{(2)})$  — это цикленный индекс для цветов, с «забытой» инволюцией.

#### 3.4.1. Примеры

Посчитаем произведение уже известных h-структур и их цикленных индексов.

Структура  $3 \times 3$ .

$$\mathcal{Z}^{(1)}(\begin{cases} \begin{cases} \be$$

Структура  $\S \times \S$ .

$$[\mathcal{Z}^{(1)} + 2\mathcal{Z}^{(2)}](\mathring{\bullet} \times \mathring{\bullet}) = [\mathcal{Z}^{(1)} + 2\mathcal{Z}^{(2)}](\mathring{\bullet}) \times [\mathcal{Z}^{(1)} + 2\mathcal{Z}^{(2)}](\mathring{\bullet}) = (\psi^1_{x,u,y})^2$$

Легко получить эту же формулу и из других соображений, как  $\frac{1}{8}(8(\psi^1_{x,y,y})^2)$ .

$$\mathcal{Z}^{(1)}({}^{\circ}_{\bullet} \times {}^{\circ}_{\bullet}) = \mathcal{Z}^{(1)}({}^{\circ}_{\bullet}) \times \mathcal{Z}^{(1)}({}^{\circ}_{\bullet}) = (\psi_x^1)^2$$

#### 3.5. Цикленный индекс композиции

#### 3.5.1. Случай обычных species

Аналитический функтор позволяет дать определние композиционного произведения двух структур. Рассмотрим два species F и G. По ним можно построить аналитические функторы  $\mathcal{F}$  и  $\mathcal{G}$ . Композиция этих функторов снова будет анлитическим функтором  $\mathcal{F} \circ \mathcal{G}$ . Доказательство его аналитичности можно найти в [TODO: где или взять доказательство Дурова]. Species который соответсвует цикленному индексу  $\mathcal{F} \circ \mathcal{G}$  и будет называться  $F \circ G$ . У этого определения есть простая, наглядная комбинаторная интерпретация: каждую точку структуры F раздуваем(красим) в структуру типа G. Чудесный факт заключается в том, что в декатегорификации композиция соответствует простой формуле подстановки. Сейчас мы ее напишем и приведем набросок доказательства. В качестве множества цветов A рассмотрим счетный набор цветов  $x_1, x_2, x_3, \ldots$  Цикленный индекс запишем относительно базиса кольца симметрических функций  $\psi^1, \psi^2, \psi^3, \ldots$ 

$$\mathcal{Z}_{F \circ G}(\psi^{1}, \psi^{2}, \psi^{3}, \dots) = \\ \mathcal{Z}_{F}(\mathcal{Z}_{G}(\psi^{1}, \psi^{2}, \psi^{3}, \dots), \mathcal{Z}_{G}(\psi^{2}, \psi^{4}, \psi^{6}, \dots), \mathcal{Z}_{G}(\psi^{3}, \psi^{6}, \psi^{9}, \dots), \dots)$$
(3.8)

В композиции двух аналитических функторов получается, что цвета в которые мы красим структуру F это структуры типа G. То есть  $\mathcal{Z}_{F\circ G}=\mathcal{Z}_F(\psi_g^1,\psi_g^2,\psi_g^3,\dots)$ , где  $\psi_g^i=(g_1^i+g_2^i+g_3^i+\dots)$ , где  $g_i$  — перечисление всех структур типа G. Нужно раскрыть переменные  $g_i$  — написать их относительно начальных цветов. Формулу  $\psi_g^i=\mathcal{Z}_G(\psi^i,\psi^{2i},\psi^{3i},\dots)$  легко понять в переменных  $x_1,x_2,x_3,\dots$  Мы должны покрасить i кусков в одну и ту же G-структуру. Значит каждый цвет  $x_j$  заменяется на  $x_j^i$ .

Формулу ?? можно специализировать для подсчета labeled—структур. То есть покрашенных структур у которых нет двух одинаковых цветов в расскраске. Соответсвующие мономы (в базисе  $x_1, x_2, x_3, \ldots$ ) возникают только при раскрытии мономов вида  $c(\psi^1)^k$  и коэффициент в них равен ck! — такой же как при мономе с точностью до факториала. Этот факториал приводит к необходимости рассматривать экспоненциальные производящие функции вместо обычных. Можно занулить все остальные мономы подстановкой  $\psi^1 = t, \psi^2 = 0, \psi^3 = 0, \psi^4 = 0$ . Формула ?? примет вид  $\mathcal{Z}_{F\circ G}(t,0,0,\ldots) = \mathcal{Z}_F(\mathcal{Z}_G(t,0,0,\ldots),0,0,\ldots)$ . А значит для экспоненциальных производящих функции labeled-структур справедливо равенство

$$(f \circ g)(t) = f(g(t)) \tag{3.9}$$

А поскольку labeled структур ровно в k! раз больше, чем unlabeled, то равенство ?? справедливо для обыкновенных производящих функций unlabeled структур.

#### 3.5.2. Случай h-species

Теперь попробуем выстроить теорию композиции цикленного индекса для h-species, параллельно теории species. Прежде всего отметим, что инволюция на множестве цветов делит их на моноцвета  $(x_1, x_2, x_3, ...)$  и бицвета  $(y_1, y_2, y_3, ...)$ . Однако, формулы ?? и ?? подсказывают, что в качестве базиса можно брать не  $\psi_x^i, \psi_y^j$  а  $\psi_x^i, \psi_{x,y,y}^j$ . Впрочем это тривиальная замена переменных.

Итак мы хотим выяснить чему равняются

$$\mathcal{Z}_{F \circ G}^{(1)}(\psi_x^1, \psi_x^2, \psi_x^3, \dots, \psi_{x,y,y}^1, \psi_{x,y,y}^2, \psi_{x,y,y}^3, \dots)$$

$$\mathcal{Z}_{F \circ G}^{(2)}(\psi_x^1, \psi_x^2, \psi_x^3, \dots, \psi_{x, y, y}^1, \psi_{x, y, y}^2, \psi_{x, y, y}^3, \dots)$$

Утверждается следующее:

$$\mathcal{Z}_{F\circ G}^{(1)/(2)}(\psi_{x}^{1}, \psi_{x}^{2}, \psi_{x}^{3}, \dots, \psi_{x,y,y}^{1}, \psi_{x,y,y}^{2}, \psi_{x,y,y}^{3}, \dots) = \\
\mathcal{Z}_{F}^{(1)/(2)}(\mathcal{Z}_{G}^{(1)}(\psi_{x}^{1}, \psi_{x}^{2}, \psi_{x}^{3}, \dots, \psi_{x,y,y}^{1}, \psi_{x,y,y}^{2}, \psi_{x,y,y}^{3}, \dots), \\
\mathcal{Z}_{G}^{(1)}(\psi_{x}^{2}, \psi_{x}^{4}, \psi_{x}^{6}, \dots, \psi_{x,y,y}^{2}, \psi_{x,y,y}^{4}, \psi_{x,y,y}^{6}, \dots), \\
\mathcal{Z}_{G}^{(1)}(\psi_{x}^{3}, \psi_{x}^{6}, \psi_{x}^{9}, \dots, \psi_{x,y,y}^{3}, \psi_{x,y,y}^{6}, \psi_{x,y,y}^{9}, \dots), \\
\dots, \\
[\mathcal{Z}^{(1)} + 2\mathcal{Z}^{(2)}]_{G}(\psi_{x}^{1}, \psi_{x}^{2}, \psi_{x}^{3}, \dots, \psi_{x,y,y}^{1}, \psi_{x,y,y}^{2}, \psi_{x,y,y}^{3}, \dots), \\
[\mathcal{Z}^{(1)} + 2\mathcal{Z}^{(2)}]_{G}(\psi_{x}^{2}, \psi_{x}^{4}, \psi_{x}^{6}, \dots, \psi_{x,y,y}^{2}, \psi_{x,y,y}^{4}, \psi_{x,y,y}^{6}, \dots), \\
[\mathcal{Z}^{(1)} + 2\mathcal{Z}^{(2)}]_{G}(\psi_{x}^{3}, \psi_{x}^{6}, \psi_{y}^{9}, \dots, \psi_{x,y,y}^{3}, \psi_{x,y,y}^{6}, \psi_{y,y,y}^{9}, \dots), \\
\dots)$$

$$(3.10)$$

Эта формула слишком грамоздкая, поэтому давайте напишем ее на уровне членов:

$$\psi_x^i \circ (\mathcal{Z}_G^{(1)}, \mathcal{Z}_G^{(2)}) = \mathcal{Z}_G^{(1)}(\psi_x^i, \psi_x^{2i}, \psi_x^{3i}, \dots, \psi_x^{i}, \psi_x^{2i}, \psi_x^{3i}, \dots)$$

$$\psi_{x,y,y}^{i} \circ (\mathcal{Z}_{G}^{(1)}, \mathcal{Z}_{G}^{(2)}) = [\mathcal{Z}^{(1)} + 2\mathcal{Z}^{(2)}]_{G}(\psi_{x}^{i}, \psi_{x}^{2i}, \psi_{x}^{3i}, \dots, \psi_{x}^{i}, \psi_{x}^{2i}, \psi_{x}^{3i}, \dots)$$

Здесь мы пишем  $(\mathcal{Z}_G^{(1)}, \mathcal{Z}_G^{(2)})$ , поскольку цикленный индекс для h-species в действительности представляет собой пару. Биструктуры подставляются вместо бицветов, моноструктуры, вместо моноцветов. В остальном рассуждение дословно повторяет случай обычных species.

Аналогично, если сделать подстановку

$$\psi_x^1 = t, \psi_x^k = 0, k > 1$$

$$\psi_{x,y,y}^1 = s, \psi_{x,y,y}^k = 0, k > 1$$

То полученная формула показывает, что ?? справедливо для экспоненциальных производящих функций bilabeled-структур (то есть производящая функция от двух переменных). А можно сделать подстановку s:=t, которая даст выполнение формулы ?? для exp-производящей функции просто labeled-структур. А значит и обычной производящей функции unlabeled-структур.

#### 3.5.3. Примеры

Посчитаем  $(\mathcal{Z}^{(1)}, \mathcal{Z}^{(2)})(\stackrel{\diamond}{\bullet} \circ \stackrel{\diamond}{\circ})$ 

$$\mathcal{Z}^{(1)}({}^{\lozenge}_{\bullet} \circ {}^{\lozenge}) = \psi^1_x \circ \psi^1_{x,y} = \psi^1_{x,y} = \mathcal{Z}^{(1)}({}^{\lozenge}_{\bullet})$$

$$\mathcal{Z}^{(2)}({}^{\diamond} \circ {}^{\diamond}) = \psi^1_y \circ 0 = 0 = \mathcal{Z}^{(2)}({}^{\diamond})$$

Да и вобще, справедливо

$$\mathcal{Z}^{(1)}(\stackrel{\circ}{\bullet} \circ A) = \mathcal{Z}^{(1)}(A)$$

$$\mathcal{Z}^{(2)}(\stackrel{\circ}{\bullet} \circ A) = \mathcal{Z}^{(2)}(A)$$

А так же

$$\mathcal{Z}^{(1)}(A \circ \stackrel{\circ}{\bullet}) = \mathcal{Z}^{(1)}(A)$$

$$\mathcal{Z}^{(2)}(A \circ \stackrel{\circ}{\bullet}) = \mathcal{Z}^{(2)}(A)$$

Это дает некоторое понимание композиции. Так  $A \circ \mathring{\bullet} = \mathring{\bullet} \circ A = A$ . То есть  $\mathring{\bullet}$  является нейтральным элементом в монойде h-species по композиции. Это несколько контр-интуитивно, поскольку в обычных species нейтральным элементом являеться одноточечное множество. А его образом при вложении species в h-species являеться  $\mathring{\circ}$ . [ТОДО A не значит ли это что просто можно по другому вложить?]

Интересно посмотреть чем является 🖇 . Например

$$[\mathcal{Z}^{(1)} + 2\mathcal{Z}^{(2)}](\square \circ \lozenge) = \frac{1}{2} (\frac{1}{2} (\psi_{x,y,y}^1 + \psi_x^1))^2 + \frac{1}{2} (\frac{1}{2} (\psi_{x,y,y}^2 + \psi_x^2)) = \frac{1}{8} ((\psi_x^1)^2 + (\psi_{x,y,y}^1)^2 + 2\psi_{x,y,y}^2 + 2(\psi_{x,y,y}^1 \psi_x^1) + 2\psi_x^2) = [\mathcal{Z}^{(1)} + 2\mathcal{Z}^{(2)}](\square)$$
(3.11)

Откуда можно сделать вывод, что  $\square \circ \lozenge = \square$ . То есть подстановка  $\lozenge$ , это «стирание различий между противоположными гранями».

# 3.5.4. Предложения [TODO]

$$(\mathcal{Z}_G^{(1)}, \mathcal{Z}_G^{(2)})(\psi_x^1, \psi_x^2, \psi_x^3, \dots, \psi_{x,y,y}^1, \psi_{x,y,y}^2, \psi_{x,y,y}^3, \dots) = (\mathcal{Z}_G(\psi_{x,y}^1, \psi_{x,y}^2, \psi_{x,y}^3, \dots), 0)$$

Где G — обычный species, вложенный в h-species. А  $\mathcal{Z}_G$  — его цикленный индекс.